Arrêté du 26/03/14 relatif à l'agrément de la demande de titre V relative à la prise en compte du système « PAC Facteur 7 » dans la réglementation thermique 2012

(BO du MEDDE n° 2014/7 du 25 avril 2014)

NOR: ETLL1405576A

Vus

La ministre de l'égalité des territoires et du logement et le ministre de l'écologie, du développement durable et de l'énergie,

Vu <u>la directive 2010/31/UE du Parlement européen et du Conseil en date du 19 mai</u> 2010 sur la performance énergétique des bâtiments (refonte) ;

Vu le code de la construction et de l'habitation, notamment ses articles L. 111-9 et R. 111-20 ;

Vu <u>l'arrêté du 26 octobre 2010</u> relatif aux caractéristiques thermiques et aux exigences de performance énergétique des bâtiments nouveaux et des parties nouvelles de bâtiments ;

Vu <u>l'arrêté du 28 décembre 2012</u> relatif aux caractéristiques thermiques et aux exigences de performance énergétique des bâtiments nouveaux et des parties nouvelles de bâtiments autres que ceux concernés par <u>l'article 2 du décret du 26 octobre 2010</u> relatif aux caractéristiques thermiques et à la performance énergétique des constructions ;

Vu <u>l'arrêté du 30 avril 2013</u> portant approbation de la méthode de calcul Th-B-C-E prévue <u>aux articles 4</u>, <u>5</u> et <u>6 de l'arrêté du 26 octobre 2010</u> relatif aux caractéristiques thermiques et aux exigences de performance énergétique des bâtiments nouveaux et des parties nouvelles de bâtiments,

Arrêtent :

Article 1er de l'arrêté du 26 mars 2014

Conformément à <u>l'article 50 de l'arrêté du 26 octobre 2010</u> susvisé et à <u>l'article 40 de l'arrêté du 28 décembre 2012</u> susvisé, le mode de prise en compte du système « PAC Facteur 7 », dans la méthode de calcul Th-B-C-E 2012, définie par <u>l'arrêté du 30 avril</u> 2013 susvisé, est agréé selon les conditions d'application définies en annexe.

Article 2 de l'arrêté du 26 mars 2014

Le directeur de l'habitat, de l'urbanisme et des paysages et le directeur général de l'énergie et du climat sont chargés, chacun en ce qui le concerne, de l'exécution du présent arrêté, qui sera publié au Bulletin officiel du ministère de l'écologie, du développement durable et de l'énergie.

Fait le 26 mars 2014.

Pour la ministre de l'égalité des territoires et du logement et par délégation : La sous-directrice de la qualité et du développement durable dans la construction, K. Narcy

Pour le ministre de l'écologie, du développement durable et de l'énergie et par délégation :

Le directeur général de l'énergie et du climat,

L. Michel

La sous-directrice de la qualité et du développement durable dans la construction, K. Narcy

Annexe : Modalités de prise en compte du système « PAC FACTEUR 7 » dans la réglementation thermique 2012

1. Définition du système « PAC Facteur 7 »

Au sens du présent arrêté, le système « PAC Facteur 7 » est un dispositif d'extraction des calories contenues dans les eaux grises filtrées, pour les transférer à l'eau de ville afin de produire de l'eau chaude sanitaire (ECS) et la stocker à une température supérieure à 58 °C.

Les eaux grises passent par gravité à travers un filtre à tapis semi-automatique et sont stockées dans des ballons en plastique à pression atmosphérique. L'efficacité énergétique du système « PAC Facteur 7 » permet de produire tout le besoin d'ECS sans appoint en 6 heures durant les heures creuses du tarif d'électricité.

Le système est composé :

- a. d'une pompe à chaleur
- b. d'un échangeur préchauffeur statique
- c. de ballons de stockage d'eau chaude à niveau variable
- d. d'un compresseur d'air sec
- e. de ballons de stockage d'eaux grises à niveau variable
- f. d'un filtre à tapis semi-automatique
- g. d'un système de régulation simple+

2. Champ d'application

Le présent titre V est applicable aux bâtiments ou parties de bâtiments pour les usages suivants :

- 1. Bâtiments à usage d'habitation a. Logements collectifs,
 - b. Etablissements sanitaires avec

hébergement,

- c. Foyers de jeunes travailleurs,
- d. Cités universitaires

- 2. Hôtels
- 3. Grandes cuisines (Restauration commerciale en continu),
- 4. Etablissements sportifs municipaux ou privés
- Industries Basse température (3x8h et 8h à 18h)

3. <u>Méthode de prise en compte dans les calculs pour la partie non directement modélisable</u>

3.1 C STO Ballon de stockage

3.1.1 Introduction

Un élément central des systèmes de production d'eau chaude sanitaire à accumulation est le ballon d'eau chaude sanitaire. Le ballon de stockage du système PAC Facteur 7[®], dont le modèle est décrit ci-après, ne comporte aucun échangeur de chaleur.

Le modèle comporte deux zones équivalentes à volume variable, en mode de vidange et en mode de charge, chacune supposée à température uniforme.

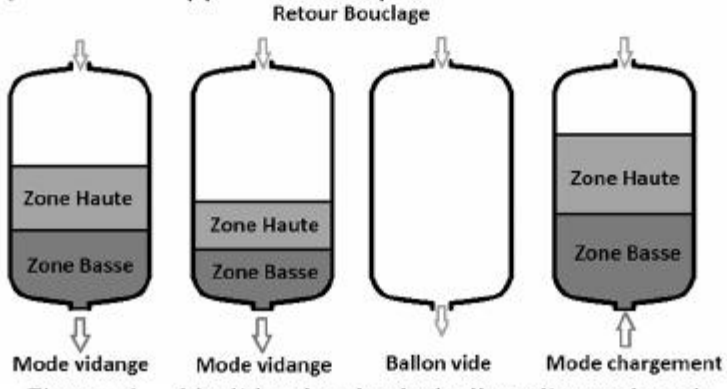


Figure 1 – Modèle simple du ballon d'eau chaude

Le stockage est à niveau variable, sans avoir de mélange eau froide / eau chaude. L'eau chaude produite par le générateur « PAC Facteur 7[®] » est introduite dans la zone basse du ballon. L'eau chaude est tirée de la zone basse du ballon. La partie non remplie d'eau chaude est constituée d'air comprimé.

Le système « PAC Facteur 7® » comporte aussi un stockage d'eaux grises à pression atmosphérique. Le principe de stockage est le même, ainsi que la modélisation.

3.1.2 Nomenclature

Entrées								
Nom	Description	Unité	Min	Max	Conv.			
θ _{entrant} (h)	Température de l'eau chaude à l'entrée du ballon de stockage	°C	0	100	-			
θ_{amb}	Température de l'air ambiant	°C	0	100	-			
θ _{CW}	Température de l'eau froide	°C	0	80	-			
θ _{z_B} (h-1)	Température de la zone basse du ballon au pas de temps h-1	°C	0	100	-			
θ _{z_H} (h-1)	Température de la zone haute du ballon au pas de temps h-1	°C	0	100				
θ _{Bouclage} (h-1)			0	100	-			
V _p (h-1)	Volume d'eau chaude puisée du ballon à la température θ_{z} B (h)	L	0	+∞	-			
V _c (h-1)	Volume d'eau chaude introduit au ballon d'eau chaude en provenance de la PAC	L	0	-	V _{tot} /HC			
V _{Bouclage} (h- 1)	Volume d'eau circulé pour le bouclage au pas de temps h- 1	L	0	+∞	-			

	Paramètres intrinsèques du composant								
Nom	Description	Unité	Min	Max	Conv.				
N _{zone}	Nombre de zones dans le ballon	-	0	+∞	2				
V _{tot}	Volume total du ballon	L	0	+∞	-				
Vz	Volume de la zone z du ballon	L	0	V _{tot}	-				
Is_{sto_vc}	Stockage en volume chauffé ou hors volume chauffé ? (= 0 hors volume chauffé / = 1 en volume chauffé)	bool	0	1	-				
b _{sto-e}	Coefficient d'atténuation dans le cas où le stockage est hors volume chauffé mais pas directement à l'extérieur	-	0	1	-				
(UA) _s	Coefficient de pertes thermiques du ballon	W/K	0	+∞	-				
θ_{max}	Température maximale du ballon	°C	0	100					
A THOUGHT AND A									

Paramètres d'intégration du composant								
Nom	Description	Unité	Min	Max	Conv.			
Statut_donnée_UA	La valeur du coefficient de pertes thermiques du stockage vers l'ambiance est une donnée : 0 - Certifiée 1 - Justifiée par un essai effectué par un laboratoire « accrédité » sur la base d'une norme ou d'un projet de norme européenne ou ISO 2 - Par défaut	-	0	2	2			

	Sorties							
Nom	Description	Unité	Min	Max	Conv.			
Pe(h)	Pertes thermiques du ballon à la fin du pas de temps h	W	0	+∞	17			
θ _{z_B} (h)	Température de la zone basse du ballon au pas de temps h	°C	0	100	-			
θ_{z_H} (h)	Température de la zone haute du ballon au pas de temps h	°C	0	100	-			
Φ	Perte thermique en volume chauffé du réseau de	Wh	0	+00	-			

Variables internes								
Nom	Description	Unité	Min	Max	Conv.			
(UA) _{s_util}	Coefficient de pertes thermiques du ballon recalculé selon son statut (certifié, déclaré ou justifié)	W/K	0	+00	-			
U _{Air_Comprimé}	Coefficient d'échange thermique pour la zone d'air comprimé	W/m².K	0	+∞	-			
Pe _{z_H}	Pertes thermiques de la zone haute du ballon	W	0	+∞	-			
Pe _{z_B}	Pertes thermiques de la zone basse du ballon	W	0	+∞	-			
V _{z_H}	Volume de la zone haute du ballon	L	0	V _{tot} /2	-			
V _{z_B}	Volume de la zone basse du ballon	L	0	V _{tot} /2	-			
θ _{départ}	Température de la boucle départ du réseau intergroupe de distribution	°C	0	+∞	-			
θ_{retour}	Température de la boucle retour du réseau intergroupe de distribution	°C	0	+∞	-			

	Constantes							
Nom	Description	Unité	Min	Max	Conv.			
HC	Nombre d'heures creuses	-	0	24	6			
ρ_{W}	Masse volumique de l'eau	kg/L	-	-	1			
C _w	Capacité calorifique massique de l'eau	Wh/(kg.K)	-	-	1,163			

3.1.3 Description mathématique

3.1.3.1 Types de ballon

Le ballon du système « PAC Facteur 7° » est décrit par le volume de la zone de stockage qui est toujours décomposée en deux parties de volumes équivalents ($V_{z_B} = V_{z_H}$). Les deux zones sont caractérisées par leur :

- volume V_z (h),
- coefficient de perte Uz (h),
- température T_z (h).

Volume de la zone

Le volume des zones haute et basse dépend du volume de puisage d'eau chaude et de la quantité d'eau chaude introduite dans le ballon au pas de temps h.

$$V_z(h) = V_z(h-1) - V_p + V_c$$

 $V_{z_B}(h) = V_{z_H}(h) = V_z(h) / N_{zone}$

Avec:

-
$$N_{zone} = 2$$

- $V_p(h) = V_{uw_corr_gr_em_e}(h) \cdot \frac{\theta_{uw}(h) - \theta_{cw}(h)}{(2 \cdot \theta_{aval}(h) + 5)/2 - \theta_{cw}(h)}$

Sachant que Vp est le volume d'eau chaude puisée du ballon à la température de Tz_B Si la PAC est en fonctionnement :

$$V_c = V_{tot} / HC$$

Sinon:

$$V_c = 0$$

$$U_{z_\mathit{Air}_\mathit{Comprim\'e}} = U_{\mathit{Air}_\mathit{Comprim\'e}} A_{S_\mathit{util}} \cdot \frac{V_\mathit{tot} - V_z}{V_\mathit{tot}} \text{ pour la zone « Air comprim\'e » }$$

Dans la méthode de calcul Th-BCE 2012, la donnée d'entrée pour la performance est le coefficient de pertes thermiques du ballon, UA [W/K].

Dans un premier temps, la valeur de UA sera prise par défaut tout en intégrant une valeur qui est équivalente à la valeur déterminée par la méthode Th-BCE 2012.

$$Q_{pr} = 0.189 \cdot V_{tot}^{0.55}$$

Tableau 1 – Valeurs par défaut et norme de détermination des pertes du ballon

Nature du ballon	Valeurs par défaut Pertes : Qpr [kWh/jour]	Normes de détermination des pertes des ballons
Ballon ECS effet Joule		X
Horizontal	Qpr = 0,939 + 0,0104 Vtot	
Vertical de volume supérieur ou égal à 75 l	$Qpr = 0,224 + 0,0663 V_{tot}^{2/3}$	NF EN 60379
Vertical de volume inférieur à 75 l	$Qpr = 0,1474 + 0,0719 V_{tot}^{2/3}$	
Autres ballons	Qpr = 0,189* V _{tot} 0,55	NF EN 15332

Les pertes du stockage sont calculées en appliquant la procédure suivante :

$$UA_{S_util} = UA_S \times 1,2$$

$$U_z = UA_{S_util} \cdot \frac{V_z}{V_{tot}} \text{ pour les zones } \times \text{ Eau chaude } \times$$

$$U_{z_Air_Comprimé} = U_{air_comprimé} A_{S_util} \cdot \frac{V_{tot} - V_z}{V_{tot}} \text{ pour la zone } \times \text{ Air comprimé} \times$$

Un calcul théorique de la résistance thermique permet de déterminer la différence du coefficient d'échange total entre la partie « Eau » et la partie « Air comprimé ».

$$\frac{1}{U_{\textit{air_comprime}}A_{S_\textit{util}}} = \frac{1}{A_{S_\textit{util}}} \left[\frac{1}{h_{ia}} + \frac{e_a}{\lambda_{\textit{acier}}} + \frac{e_i}{\lambda_{PU}} + \frac{1}{h_e} \right] \text{ pour la partie } \\ \text{ Air_comprime} \\ \text{ Air_co$$

$$\frac{1}{U\!A_{\!S_util}} = \frac{1}{A_{\!S_util}} \left[\frac{1}{h_{\!i_e}} + \frac{e_a}{\lambda_{acier}} + \frac{e_i}{\lambda_{\!PU}} + \frac{1}{h_{\!e}} \right] \text{ pour la partie « Eau chaude »}$$

Avec:

λ conduction thermique (W/m.K)

e épaisseur (m)

h coefficient d'échange convectif (W/m2.K)

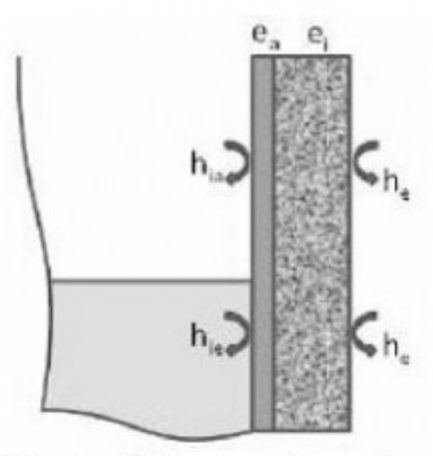
A surface d'échange (m)

As_util est la surface d'échange entre le ballon et l'air ambiant de la partie mouillée du ballon en prenant en compte la pénalité de 20 %.

As est la surface d'échange entre le ballon et l'air ambiant de la partie mouillée du ballon sans prendre en compte la pénalité de 20 %.

Zone	h _{ia}	λ _{acier} /e _a	λ _{PU} /e _i	he
Air comprimé	8	15 333	2,3	4
Eau chaude	150	15 333	2,3	4

La conduction dans l'isolant est le transfert dominant et écrase les différences des coefficients eau-paroi et air comprimé-paroi. On considère que la paroi est à température homogène dans la zone d'air comprimé et le coefficient d'échange global est majoré par le coefficient de l'eau chaude. D'où : $U_{air_comprimé} \approx U$



Ce calcul détaillé permet de conclure que « U_z », le coefficient d'échange thermique global, est constant sur toutes les zones.

Les pertes sont les pertes thermiques du ballon vers l'air ambiant. Les pertes de chacune des deux zones sont données par les équations :

$$Pe_{z_B}(h) = U_z \cdot (\theta_{z_B}(h) - \theta_{amb}(h))$$

$$Pe_{z-H}(h) = U_z \cdot (\theta_{z-H}(h) - \theta_{amb}(h))$$

$$Pe_{z_Air_Comprimé}(h) = U_{z_Air_Comprimé} \cdot (\theta_{z_H}(h) - \theta_{amb}(h))$$

car l'air comprimé est considéré à la même température que la zone haute du fait de la condensation de la vapeur d'eau sur la paroi de la zone d'air comprimé, et cela pour obtenir un équilibre de pression partielle.

A noter aussi que le retour du bouclage s'effectue sur les derniers volumes pleins.

Les pertes du ballon sont la somme des pertes des deux zones. Elles seront récupérables si la génération à laquelle le ballon appartient est en volume chauffé.

$$P_{e}(h) = \sum_{z} Pe_{z}(h) = Pe_{z_B}(h) + Pe_{z_H}(h) + Pe_{z_Air_Comprime}(h)$$

Note: au premier pas de temps de la simulation, nous prendrons $\theta_{z=R}(h-1)=60\,^{\circ}C$

Température d'eau chaude dans chaque zone

La température de l'eau chaude dans le ballon est déterminée en deux étapes (cf. figure 2).

· Détermination d'une température intermédiaire après l'effet de la perte

$$\theta_{z_{-B}}(h-1) = \theta_{z_{-B}}(h-1) - \left(Pe_{z_{-B}}/\left(V_{z_{-B}} \cdot \rho_{w} \cdot c_{w}\right)\right)$$

$$\theta_{z_{-H}}(h-1) = \theta_{z_{-H}}(h-1) - (Pe_{z_{-H}}/(V_{z_{-H}} \cdot \rho_w \cdot c_w))$$

La température de l'air comprimé est constante du fait que le retour du bouclage est effectué dans la zone d'air comprimé.

 Détermination de la température finale après les éventuels mélanges avec le retour du bouclage et l'eau chaude entrante

$$\theta_{z_{-B}}(h) = \frac{\left(V_{z_{-B}}(h-1) - V_{bounclage}(h-1) - V_{p}(h-1)\right) \cdot \theta_{z_{-B}}(h-1) + V_{bounclage}(h-1) \cdot \theta_{z_{-H}}(h-1) + V_{c}(h-1) \cdot \theta_{entrum}(h-1)}{\left(V_{z_{-B}}(h-1) - V_{p}(h-1) + V_{c}(h-1)\right)}$$

$$V_{bouclage}(h) = \frac{\left(\phi_{peries_vc_prime-e}(h-1) + \phi_{peries_hvc_prime-e}(h-1)\right)}{\left(c_w \cdot \left(\theta_{dipart_prime-e}(h-1) - \theta_{rotour_prime-e}(h-1)\right)\right)}$$

$$Zone \ Haute$$

$$Zone \ Haute$$

$$V_{bouclage}$$

$$T_{r_e, h}$$

Figure 2 - Modélisation du ballon de stockage pour le système PAC Facteur 7º

Remarque

 A t = 0, autrement dit à l'initialisation du calcul, le volume d'eau chaude est rempli à deux volumes correspondant à deux pas de temps :

$$V_z = \frac{V_{tot}}{HC} \times 2$$

3.2 C_STO_Ballon_de_stockage_d'eaux_grises

3.2.1 Introduction

Le ballon de stockage d'eaux grises est un élément essentiel pour le bon fonctionnement du système. Le volume d'eau dans le ballon d'eaux grises est considéré comme une seule zone.

Sur le même principe que le ballon de stockage d'eau chaude, le volume et la température de la zone unique sont modélisés à partir du bilan énergétique et la conservation de masse.

3.2.2 Nomenclature

	Entrées								
Nom	Description	Unité	Min	Max	Conv				
$\theta_{c_{GW}}$ (h)	Température des eaux grises à l'entrée du ballon	°C	0	100	-				
θ_{amb}	Température de l'air ambiant	°C	0	100	-				
θ_{z_GW} (h-1)	Température de la zone au pas de temps h-1	°C	0	100	-				
θ _{2nd-e}	Température de la distribution d'ECS du groupe	°C	-00	+∞	-				
θ_{cw} (h)	Température de l'eau froide	°C	0	+∞	-				
θ _{uw} (h)	Température de l'eau mitigée au puisage	°C	0	+∞	-				
V _{p_GW} (h-1)	Volume d'eaux grises puisé du ballon à la température $\theta_{z \text{ GW}}$ (h)	L	0	+∞	-				
V _{c_Gw} (h-1)	Volume d'eaux grises introduit au ballon en provenance d'usages	L	0	•	-				

Paramètres intrinsèques du composant

Paramètres d'intégration du composant								
Nom	Description	Unité	Min	Max	Conv			
Statut_donnée_UA	La valeur du coefficient de pertes thermiques du stockage vers l'ambiance est une donnée : 0 - Certifiée 1 - Justifiée par un essai effectué par un laboratoire « accrédité » sur la base d'une norme ou d'un projet de norme européenne ou ISO 2 - Par défaut	-	0	2	2			

Sorties							
Nom	Description	Unité	Min	Max	Conv.		
Pe _{Gw} (h)	Pertes thermiques du ballon d'eaux grises à la fin du pas de temps h	W	0	+∞	-		
$\theta_{z_{GW}}$ (h)	Température de la zone du ballon d'eaux grises au pas de temps h	°C	0	100	-		

Variables internes							
Nom	Description	Unité	Min	Max	Conv.		
(UA) _{s_util_GW}	Coefficient de pertes thermiques du ballon d'eaux grises recalculé selon son statut (certifié, déclaré ou justifié)	W/K	0	+∞	-		
Pe _{z_Gw}	Pertes thermiques de la zone du ballon d'eaux grises	W	0	+∞	-		

Constantes						
Nom	Description	Unité	Min	Max	Conv.	
HC	Nombre d'heures creuses	-	0	24	6	
$\rho_{\mathbf{w}}$	Masse volumique de l'eau	kg/L	-	-	1	
Cw	Capacité calorifique massique de l'eau	Wh/(kg.K)	-	-	1,163	

3.2.3 Description du code de calcul pour la partie Ballon de stockage-Eaux grises

Le volume d'eaux grises V_{c_GW} est égal au volume d'eau mitigée V_{uw} .au puisage. En réalité, si l'eau au puisage est froide, une vanne de régulation laisse passer les eaux grises directement à l'égout si sa température est inférieure à 20 °C.

3.2.3.1 Calcul des volumes disponibles

Le volume horaire introduit dans le ballon d'eaux grises est calculé à partir du volume horaire puisé d'eau chaude.

$$V_{c_{-GW}}(h) = V_{p}(h) \times \frac{\theta_{2\text{nd-e}}(h) - \theta_{cw}(h)}{\theta_{uw}(h) - \theta_{cw}(h)}$$

Le volume horaire puisé d'eaux grises est calculé à partir du volume de la zone stockée dans le ballon d'eaux grises au début de chaque fonctionnement, tout en considérant que le fonctionnement dure 6 heures.

$$V_{p \ GW}(h) = V_{z \ GW}(h_0)/6$$

Avec Vz_GW (h0) le volume des eaux grises au démarrage du fonctionnement de la PAC.

Ensuite, le volume de la zone z du ballon d'eaux grises est calculé par :

$$V_{z_{-GW}}(h) = V_{z_{-GW}}(h-1) + V_{c_{-GW}}(h-1) - V_{p_{-GW}}(h-1)$$

La valeur de Vz_GW est initialisée à :

$$V_{z_GW} = V_{tot_EG} - 2 \cdot \frac{V_{tot}}{HC} \times \frac{\theta_{2\text{nd-e}} - \theta_{cw}}{\theta_{vw} - \theta_{cw}}$$

Le coefficient de perte du ballon d'eaux grises est constant et appliqué au volume d'eaux grises existant :

$$UA_{S_util_GW} = UA_{S_GW} \times 1,2$$

$$U_{z_GW} = UA_{s_util_GW} \times \frac{V_{z_GW}}{V_{tol_FG}}$$

Les pertes sont les pertes thermiques du ballon d'eaux grises vers l'air ambiant. Les pertes de la zone z sont données par l'équation :

$$Pe_{z_GW}(h) = U_{z_GW} \times (\theta_{z_GW}(h-1) - \theta_{amb}(h))$$

Les pertes du ballon d'eaux grises sont telles que :

$$Pe_{GW} = Pe_{z_GW}$$

Les ballons d'eaux grises ne sont pas pressurisés ; ils sont en PVC dont la conductivité thermique est de 0,2 W/m.K.

3.2.3.3 Calcul des températures des zones du ballon d'eaux grises au pas de temps

Le principe est le même que celui du ballon de stockage d'eau chaude. La température des eaux grises dans la cuve est déterminée en deux étapes.

1. Détermination d'une température intermédiaire après l'effet de la perte thermique

$$\theta_{z_{-GW}}(h) = \theta_{z_{-GW}}(h-1) - \frac{Pe_{z_{-GW}}(h-1)}{V_{z_{-GW}}(h-1) \cdot \rho_{w} \cdot c_{w}}$$

 Détermination de la température finale après les éventuels mélanges d'eaux grises entrant dans la cuve

$$\theta_{z_{-}GW}(h) = \frac{V_{z_{-}GW}(h-1) \cdot \theta_{z_{-}GW}(h-1) + V_{c_{-}GW}(h-1) \cdot \theta_{c_{-}GW}(h-1)}{V_{z_{-}GW}(h-1) + V_{c_{-}GW}(h-1)}$$

La température des eaux grises à l'entrée du ballon d'eaux grises est déterminée au paragraphe 3.4.

Note: A t=0, autrement dit à l'initialisation du calcul, le volume d'eaux grises dans le ballon d'eaux grises est le volume total du ballon moins deux volumes correspondant au soutirage en deux pas de temps:

$$V_{z_GW} = V_{tot_GW} - 2 \times V_{tot} / HC \times \frac{\left(\theta_{2nd-e} - \theta_{cw}\right)}{\theta_{uw} - \theta_{cw}}$$

3.4 Canalisation des eaux grises

Comme pour les pertes de la boucle d'eau chaude, la température des eaux grises à l'entrée du collecteur au sous-sol est telle que :

$$\theta$$
 ... $(h) = \theta$ $(h) - 7$

Diamètre extérieur du	Classe1	Classe2	Classe3	Classe4	Classe5	Classe6		
conduit (sans isolant) (mm)	Coefficient de perte $U_{\mathit{coll}_\mathit{GW}}$ (en W/m.K)							
10	0.25	0.23	0.20	0.18	0.15	0.13		
20	0.29	0.25	0.22	0.19	0.16	0.14		
30	0.32	0.28	0.24	0.21	0.17	0.14		
40	0.35	0.3	0.26	0.22	0.18	0.15		
60	0.42	0.36	0.30	0.25	0.21	0.17		
80	0.48	0.41	0.34	0.28	0.23	0.18		
100	0.55	0.46	0.38	0.31	0.25	0.20		
200	0.88	0.72	0.58	0.56	0.36	0.28		
300	1.21	0.98	0.78	0.61	0.47	0.36		

Tableau 1 : Coefficient de perte en fonction de l'épaisseur du conduit selon les classes d'isolation

$$\begin{split} Pe_{collecteur_GW}(h) &= U_{coll_GW} \cdot L_{_vc_coll-e} \cdot \left(\frac{\theta_{collecteur_GW}(h) + \theta_{c_GW}(h)}{2} - \theta_{amb}(h) \right) \\ Pe_{collecteur_GW}(h) &= V_{c_GW}(h) \cdot \rho_W \cdot c_W \cdot \left(\theta_{collecteur_GW}(h) - \theta_{c_GW}(h) \right) \end{split}$$

En développant ces formules, theta $_{c_GW}$ sera déterminée par la relation suivante :

$$\theta_{c_{GW}}(h) = \frac{1}{V_{c_{GW}}(h) \cdot \rho_{W} \cdot c_{W} + 0.5 \cdot U_{coll_{GW}} \cdot L_{vc_{coll-e}}} \times \left[V_{c_{GW}}(h) \cdot \rho_{W} \cdot c_{W} \cdot \theta_{collecteur_{GW}}(h) - U_{coll_{GW}} \cdot L_{vc_{coll-e}} \cdot \left(\frac{\theta_{collecteur_{GW}}(h)}{2} - \theta_{amb}(h) \right) \right]$$

3.5 La pompe à chaleur - Fonctionnement à pleine charge en conditions non nominales en mode ECS (Id_{fonction} = 3)

 $IdFluide_aval = 1$

La consommation électrique globale du système est constituée de la consommation électrique du compresseur de la pompe à chaleur, de la pompe du circuit secondaire entre le condenseur (COND) et l'échangeur (EV/EBHEX), et celle des pompes de circulation d'eaux grises.

3.5.1 PAC eaux grises / eau

Syst_Thermo_ECS = 5 Idfougen = 3

	Valeur mesurée	Remarques
COP pivot	9,3	

		T _{amont} (eaux grises)		
	T _{retour}	25	30	35
	T _{départ}	7	8	9
	T _{am} >	16	19	22
T _{aval} 35 45 55	Priorité	2	1	3
35	4			
45	1			
55	2			
65	3			

La valeur 'pivot' à fournir systématiquement par l'utilisateur est la valeur pour T_{am} = 19° C; T_{av} = 45 °C.

Les autres valeurs sont fournies par l'utilisateur ou calculées par défaut selon les modalités suivantes.

Les valeurs fournies doivent respecter l'ordre de priorité défini tableau 5.2.

Tableau 5.2 - Températures aux sources

Tempé	rature a	val		
45 °C				
45 °C,	55 °C			
45 °C,	55 °C,	65 °C		
45 °C,	55 °C,	65 °C,	35 °C	

Température amont	
19 °C	
19 °C, 16 °C	
19 °C, 16 °C, 22 °C	

Correction des valeurs de performance en fonction de leur statut (une fois en début de simulation)

Si statut données = 1 (il existe des valeurs de performance certifiées ou mesurées)

∀ icol,ilign→si ValECS(icol,ilign)=1, ValECS(icol,ilign)=ValECS(icol,ilign)

∀ icol,ilign→si ValCOR(icol,ilign)=2, ValECS(icol,ilign)=ValECS(icol,ilign)*0,9

Si statut_données = 2 (il n'existe aucune valeur certifiée ou mesurée)

ValECS_pivot_inter = 0,8 x Val_util_max

ValECS(2,2)=ValECS_pivot_inter

La valeur utile max a été fixée à 3,7 conformément à la méthode Th-BCE dans le paragraphe 10.21.2 dans la nomenclature du générateur thermodynamique électrique (Val_utile_max des PAC ECS eau de nappe/eau au régime 13,5°/45° des TH-BCE).

Calcul des valeurs par défaut (une fois en début de simulation)

Les COP non mesurés sont calculés par défaut à partir des ratios indiqués tableau 5.3.

Tableau 5.3 - Coefficients de correction en fonction des températures aux sources

Température aval	Température amont
$Cnnav_{COP}(55, 45) = 0.8$	Cnnam_ COP (16, 19) = 0,9
Cnnav $_{COP}$ (65, 45) = 0,6	Cnnam $_{COP}(22, 19) = 1,1$
Cnnav $_{COP}(35, 45) = 1,2$	

Note : en ce qui concerne la température T_{amont} , la température d'eaux grises est totalement indépendante de la température d'air extérieur. Elle résulte de la température

La colonne contenant la valeur pivot est complétée

2. Les lignes sont complétées

Pour Ilign allant de 1 à Neaval

Calcul du COP pour le couple Tamont / Taval au pas de temps

On calcule alors $\theta_{amont}(h)$ et $\theta_{aval}(h)$:

$$\begin{split} \theta_{depart} &= \frac{\theta_{e_evap} + 10}{5} \\ \theta_{amont} &= \frac{\theta_{e_evap} + \theta_{depart}}{2} \\ \theta_{s_cond} &= aTheta_{aval} + 10 \\ \theta_{aval} &= \frac{\theta_{e_cond} + \theta_{s_cond}}{2} \end{split}$$

Algorithme pour $\theta_{amont}(h)$:

$$\begin{array}{l} \text{Si } \theta_{\text{amont}}(h) < \text{Val}_{\theta \text{amont}}(1) \\ i_{\theta \text{am}} 1 = 1 \\ i_{\theta \text{am}} 2 = 1 \\ \theta_{\text{am}} 1 = \theta_{\text{amont}}(h) \\ \theta_{\text{am}} 2 = \text{Val}_{\theta \text{amont}}(1) \end{array}$$

$$\begin{aligned} \text{Si } \theta_{\text{amont}}(h) &> \text{Val}_{\theta \text{amont}}(N_{\theta \text{amont}}) \\ i_{\theta \text{am}} 1 &= N_{\theta \text{amont}} \\ i_{\theta \text{am}} 2 &= N_{\theta \text{amont}} \\ \theta_{\text{am}} 1 &= \text{Val}_{\theta \text{amont}}(N_{\theta \text{amont}}) \\ \theta_{\text{am}} 2 &= \theta_{\text{amont}}(h) \end{aligned}$$

Sinon,

Pour
$$i_{\theta a mont}$$
 allant de 2 à $N_{\theta a mont}$, $Si \theta_{a mont}(h) \leq Val_{\theta a mont}(i_{\theta a mont})$, alors, $i_{\theta a m} 1 = i_{\theta a mont} - 1$ $i_{\theta a m} 2 = i_{\theta a mont}$ $\theta_{a m} 1 = Val_{\theta a mont}(i_{\theta a m} 1)$ $\theta_{a m} 2 = Val_{\theta a mont}(i_{\theta a m} 2)$

Coupure de la boucle 'pour'

Algorithme pour $\theta_{aval}(h)$:

$$\theta_{av}2 = \theta_{aval}(h)$$

Sinon,

Pour i_{Baval} allant de 2 à N_{Baval}, Si $\theta_{aval}(h) \leq Val_{\theta aval}(i_{\theta aval})$, alors, $i_{\theta a v} 1 = i_{\theta a v a l} - 1$ $i_{\theta a v} 2 = i_{\theta a v a l}$ $\theta_{av}1 = Val_{\theta aval}(i_{\theta av}1)$ $\theta_{av}2 = Val_{\theta aval}(i_{\theta av}2)$

Coupure de la boucle 'pour'

Calculs des coefficients d'interpolation

$$C_{\theta com}(h) = \frac{\theta_{comont}(h) - \theta_{com}1}{\theta_{com}2 - \theta_{com}1}$$

$$C_{\theta av}(h) = \frac{\theta_{avai}(h) - \theta_{av}1}{\theta_{av}2 - \theta_{av}1}$$

Calcul de la performance

COP_pc(h) =
$$(1-C_{\theta am})^*(1-C_{\theta av})^*\{ValECS(i_{\theta am}1, i_{\theta av}1)\} + C_{\theta am}^*(1-C_{\theta av})^*\{ValECS(i_{\theta am}2, i_{\theta av}1)\} + C_{\theta aw}^*(1-C_{\theta am})^*\{ValECS(i_{\theta am}1, i_{\theta av}2)\} + C_{\theta am}^*C_{\theta av}^*\{ValECS(i_{\theta am}2, i_{\theta av}2)\}$$

8.3.5.2 Calcul des puissances absorbées à pleine charge

La valeur 'pivot' à fournir systématiquement est la valeur pour Tam = 19 C; Tav = 45 °C Les valeurs absorbées mesurées doivent correspondre aux cas fournis pour les valeurs des COP.

3.5.2.1 Calcul des valeurs par défaut (une fois au début de simulation)

Les puissances non mesurées sont calculées par défaut à partir des ratios du tableau 5.4.

Tableau 5.4 - Coefficients de correction en fonction des températures aux sources

Températures aval	
$Cnnav_{Pabs}(55, 45) = 0.9$	
$Cnnav_{Pabs}(35, 45) = 1,1$	
Cnnav $_{Pabs}$ (65, 45) = 0,8	

Températures amont	
Cnnam_Pabs (16, 19) = 1,05	
Cnnam $_{Pabs}$ (22, 19) = 0,9	

La colonne contenant la valeur pivot est complétée en premier

Si $\{ValPabs(2,1)\}=0$ ${ValPabs (2,1)} = {ValPabs (2,2)} *Cnnav_{Pabs}(35,45)$ Si $\{ValPabs(2,3)\}=0$ ${ValPabs (2,3)} = {ValPabs (2,2)} *Cnnav_{Pabs}(55,45)$

Si $\{ValPabs(2,4)\}=0$ ${ValPabs (2,4)} = {ValPabs (2,2)} *Cnnav_{Pabs}(65,45)$

Les lignes sont complétées

Pour Ilign allant de 1 à Neaval

Si {ValPabs (1,Ilign)}=0 {ValPabs (1,Ilign)}={ValPabs (5, Ilign)}*Cnnam Pabs(16,19) Si {ValPabs (3,Ilign)}=0 {ValPabs (3,Ilign)}={ValPabs (5, Ilign)}*Cnnam Pabs(22,19)

3.5.2.2 Calcul de la puissance absorbée pour le couple Tamont Taval au

Si la puissance requise par le réseau est supérieure à la puissance disponible, l'énergie restante est en sortie de ce module. Elle pourra alors être fournie par un générateur d'appoint ou reportée au pas de temps suivant.

$$Q_{req_act} = \frac{(Q_{req_act} + P_e)}{R \dim}$$

Pfou_PAC(h) = $V_c*rho_w*c_w*(T_s_cond - T_e_cond)$

si Lim_Theta = 0 $Q_{rest_act} = max\{0; Q_{req_act} - Pfou_PAC(h)\}$

 $Q_{rest_act} = Q_{req_act}$ Pfou_PAC(h) = 0

 $Q_{rest_act} = Q_{req_act}$ Pfou_PAC(h) = 0

$$Q_{cef}[\acute{e}lectricit\acute{e}] = \frac{P_{fou_pac}}{COP_{pc}} + C_{pompe}$$

Si la PAC n'est pas en fonctionnement

$$P_{fou_pac} = 0$$

$$C_{pompe} = 0$$

Notes

 Pour le fonctionnement à charge partielle ou nulle, la méthode Th-BCE est appliquée. Le taux de charge LR est toujours égal à 1.

Source URL: https://aida.ineris.fr/reglementation/arrete-260314-relatif-a-lagrement-demande-titre-v-relative-a-prise-compte-systeme